УДК 538.113+541.67

ХИМИЯ

Ю. В. ЯБЛОКОВ, Л. В. МОСИНА, Г. А. ПОПОВИЧ, академик АН МССР А. В. АБЛОВ, К. МИРЕЛ

НЕСКОЛЬКО ТИПОВ МАГНИТНЫХ ЦЕНТРОВ В КРИСТАЛЛАХ АДДУКТОВ 3,5-ДИНИТРОБЕНЗОАТА МЕДИ

Продолжая систематические исследования магнетизма и спектров э.п.р. карбоксилатов меди ($^{4-3}$), мы столкнулись с рядом особенностей в свойствах аддуктов 3,5-динитробензоата Cu(II). Изучались мелкокристаллические образцы соединений состава (3,5-(NO₂)₂C₆H₃COO)₄Cu₂·2L, где L = CH₃OH(I); C₂H₅OH(II); (NH₂)₂CO(III); CH₃CONH₂(IV); n-C₄H₉OH(V) и (3,5-(NO₂)₂C₆H₃COO)₂CuL, где L = 2H₂O(VI). Измерения э.п.р. (спектрометр фирмы Брукер, $v \cong 9350$ Мгд) и статической магнитной восприимчивости χ в интервале температур 77–300° К показали, что в зависимости от природы лигандов L свойства соединений существенно различаются. Оказалось, что только спектры образдов VI и V отвечают известным прототипам: соединение VI является обычным мономером, зависимость χ (T)

Таблица 1 Параметры спектров э.п.р. аддуктов к 3,5-динитробензоату Си (II) (дентры с $S={}^1/{}_2$)

Адденд L	g _x	gy	gz	A , $\mathfrak d$	В, э	
	$\begin{array}{c c} 2,040 \\ 2,040 \\ 2,040 \\ 2,040 \\ 2,040 \\ g_{\perp} = 2,068 \\ g_{\perp} = 2,086 \end{array}$	$2,075$ $2,075$ $2,075$ $2,075$ $2,075$ $2,075$ $2,314$ $g_{\parallel} = 2,338$	2,330 2,340 2,340 2,340 2,340	162 161 161 153 163	~20 ~20 ~20 ~20 ~20 ~20	

 $\Delta g_{\parallel} = \pm 0,002$ $\Delta A = \pm 3$ ϑ

подчиняется закону Кюри — Вейсса; соединение V построено из двуядерных молекул типа моногидрата ацетата меди ($^{4-6}$). Спектры э.п.р. остальных аддуктов оказались неожиданными. Рассмотрим их на примере аддукта метанола к 3,5-динитробензоату меди, который является типичным (рис. 1).

При комнатной температуре наблюдается (рис. 1a и 6) большое число достаточно интенсивных групп сигналов, из которых выделим семь, расположенных при следующих значениях постоянного магнитного поля H(9): I-370, 2-1080, 3-3000, 4-4500, 5-5530, 6-6100 и 7-6700. Из остальных сигналов выделим группу линий ($g_{\rm cp} \simeq 2,16$; $\delta H \simeq 1200$ э), положение которой совпадает с положением группы 3. Обозначим ее номером 8 (рис. 1a). Сигналы типа 1-8 присутствуют в спектрах всех соединений I-IV. При понижении температуры интенсивность сигналов 3 растет, интенсивность всех остальных сигналов понижается. Кроме того, при понижении температуры изменяется положение всех сигналов за исключением группы 3: линии 1 и 6, 2 и 7 смещаются в сторону слабых магнитных полей \sim на 150 и 330 э соответственно, а линия $5\sim$ на 380 э; сигнал 4 сдвигается в сильные поля \sim на 130 э; группа 8 трансформируется явно в две линии, которые при понижении температуры сходятся к центру и сливаются с линиями 3.

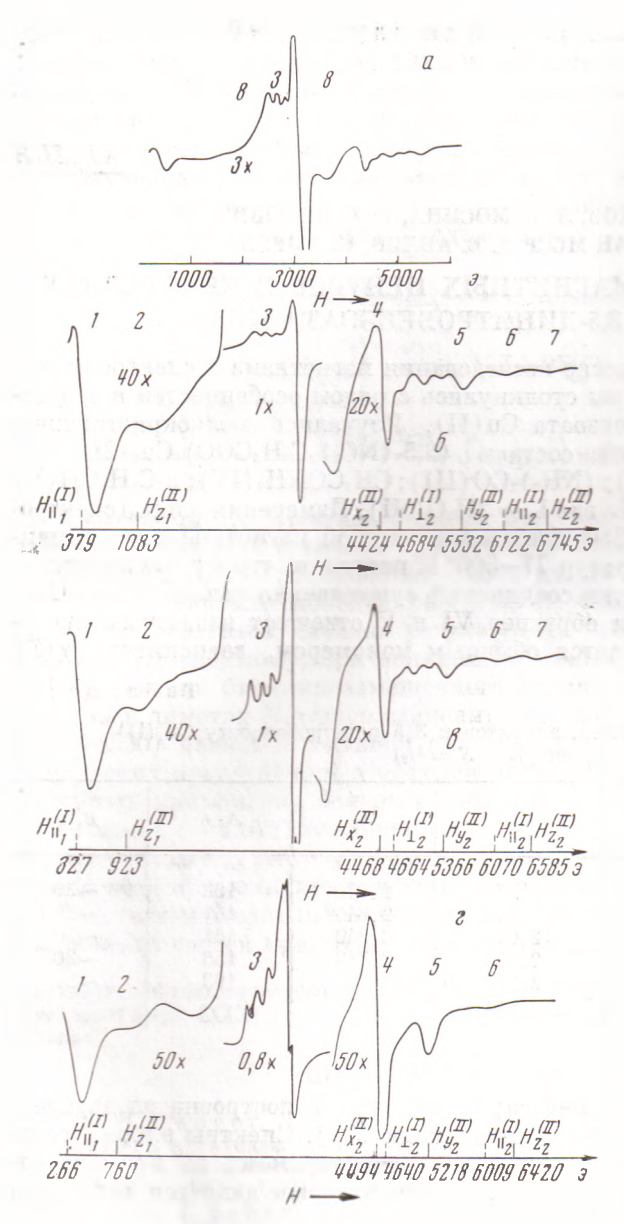


Рис. 1. Температурная зависимость спектров э.п.р. соединения І. $a-T=300^\circ;~ \delta-270^\circ;~ \epsilon-190^\circ;~ \epsilon-140^\circ$ К. Приведено относительное усиление сигналов при регистрации спектра

Как видно из рис. 2, температурный ход BOCприимчивости соединений I и II не описывается ни уравнением Блини — Бауэрса, ни законом Кюри -Вейсса. Подчеркнем однако, что указанные вещества являются индивидуальными химическими соединениями, а не механической смесью нескольких продуктов. Это заключение подтверждается воспроизводимостью химических анализов и дифрактограмм, однотипностью габитуса кристаллов образцов, получающихся при повторных синтезах.

Рассмотрение опытных фактов начнем с группы линий 3 в спектрах э.п.р. соединений I-IV, показанных на рис. 1. Их положение, вид и температурная зависимость интенсивности однозначно свидетельству-OTP они обязаны невзаимодействующим парамагнитным центрам, содержащим один атом меди. Составляющие д-тензора и параметры сверхтонкой структуры приведены в табл. 1. Видно, что для всех соединений значения g_i , A и B практически совпадают. Мы определили концентрацию этих цент-(их можно называть фрагментамономерными ми), сравнивая интегральную интенсивность их сигэ.п.р. и сигнала от налов эталонного образца CuSO₄. ·5H₂O при температурах

77 и 300° К. Оказалось, что, отношение количества атомов меди мономерных фрагментов к остальным не зависит от температуры и равно $\sim 1:4$ (точность определения количества центров не превышает 10-15%).

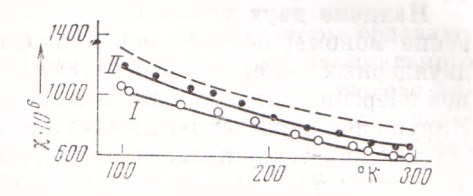
Интенсивность остальных сигналов, показанных на рис. 2, уменьшается при понижении температуры. Это означает, что парамагнитные состояния являются возбужденными. Анализ формы и положения сигналов показывает, что их мультиплетность равна трем, и позволяет выделить $\binom{6}{7}$ два набора линий, которые описываются спиновым гамильтонианом

$$\hat{\mathcal{H}} = \{g\} \beta \hat{H} \hat{S} + D \left[\hat{S}_{z}^{2} - \frac{1}{3} S \left(S + 1 \right) \right] + E \left(\hat{S}_{x}^{2} - \hat{S}_{y}^{2} \right)$$
 (1)

с S=1. Известно, что центры, парамагнетизм которых обусловлен возбужденными триплетными состояниями, возникают при образовании пар атомов меди, связанных обменными взаимодействиями вида $\hat{JS}_1 \cdot \hat{S}_2$. Отнесение сигналов к определенным переходам между триплетными подуровнями показано на рис. 2. Спектры, записанные при разных температурах, одинаково хорошо интерпретируются гамильтонианом (1), причем смещения сигналов отражают факт уменьшения расщеплений D для первого типа центров и D и E для второго. Значения параметров g_i , D и E для обоих типов центров в соединениях I-IV, а также для V, приведены в табл. 2.

Изложенное выше позволяет утверждать, что в аддуктах I-IV присутствуют в сравнимых концентрациях три типа центров, один из которых

Рис. 2. Температурная зависимость магнитной восприимчивости. Номера кривых соответствуют номерам соединений. Штриховая — теоретическая кривая $\chi(T) = \alpha\chi_M + (1-\alpha)/2[\chi_D(J_1) + \chi_D(J_2)],$ $\alpha = 0.22, \quad J_1 = 300 \text{ cm}^{-1} \quad (T = 300^\circ \text{K}) \rightarrow 200 \text{ cm}^{-1} \quad (T = 100^\circ \text{K}) \rightarrow 400 \text{ cm}^{-1} \quad (T = 100^\circ \text{K})$



содержит изолированный атом меди, а два других включают обменносвязанные пары атомов меди. Из табл. 1 видно, что параметры двуядерных центров первого типа мало отличаются друг от друга и очень близки к соответствующим параметрам обычного для карбоксилатов меди димерного аддукта V. Поэтому естественнее всего считать, что они представляют собой типичные двуядерные молекулы ацетатного типа. Параметры центров второго типа также близки друг к другу, однако расщепления D в них заметно больше, а симметрия магнитного фрагмента — ниже, чем в известных двуядерных карбоксилатных комплексах меди. Интересно, что двуядерные центры второго типа возникают только в тех случаях, когда появляются центры, содержащие изолированные атомы меди.

Присутствие в спектрах э.п.р. двуядерных карбоксилатов меди слабых сигналов от фрагментов, содержащих один атом меди с S=1/2, впервые отмечалось в (8). Такие сигналы затем часто наблюдались в новых димерных карбоксилатах меди, причем концентрация мономерных фрагментов не превышала $^1/_{100}$ от концентрации двуядерных молекул. В достаточно крупных кристаллах мономерные фрагменты, как правило, отсутствовали. На этом основании их формулировали как дефекты кристаллической структуры и не анализировали. (Такие слабые сигналы наблюдаются и в соединении V.) В обсуждаемых здесь аддуктах I-IV дело обстоит иначе. Как мы уже отмечали, один мономерный центр приходится приблизительно на

Таблица 2 Параметры спектров э.п.р. аддуктов к 3.5-динитробензоату Си (II) $(T=300\ {\rm K},\ 77\ {\rm K})$

Адденд L	$g_{\perp}^{(\mathrm{I})}$	g ^(I) ∥	$D^{(I)}$, CM^{-1}	$g_{\mathbf{x}}^{(\mathrm{II})}$	$g_{y}^{(II)}$	$g_z^{(II)}$	D(II), cm-1	$E^{(II)}$, CM^{-1}
					1000			
І. СН₃ОН	2,081	2,325	0,353	2,068	2,071	2,367	0,434	0,029
II. C ₂ H ₅ OH	2,081 * 2,081	2,325 * 2,330	0,337 * 0,348	2,072 * 2,067	2,074 * 2,070	2,367 * 2,360	0,396 * 0,444	0,017 * 0.030
	,			2,073 *	2,074 *	2,360 *	0,390 *	0,016 *
III. (NH ₂) ₂ CO	2,081	2,330	0,349	2,067 2,075 *	2,069 2,071 *	2,360 2,360 *	$0,440 \\ 0,397*$	0,030 0,016 *
IV. CH ₃ CONH ₂		2,330	0,357	2,066	2,067	2,360	0,446	0,030
V. <i>н</i> -С ₄ Н ₉ ОН	2,069 * 2,079	2,330 * 2,353	0,350 * 0,353	2,073 *	2,074 *	2,360 *	0,391*	0,015*

^{*} Данные относятся к *T* = 77° К.

два димерных. Хорошо разрешенная сверхтонкая структура показывает, что строение мономерных фрагментов в образце сохраняется. Близость значения g-тензора и констант с.т.с. этих центров в разных аддуктах говорит об их родственной природе в исследуемых веществах. Все это свидетельствует о том, что возникновение этих центров нельзя рассматривать как простое нарушение кристаллической решетки. Скорее всего, их появление отражает специфику решетки аддуктов к 3,5-динитробензоату меди, в которой плотная упаковка за счет только димерных молекул может оказаться затруднительной. Судя по величинам g-тензоров мономерных единип, наиболее вероятным окружением атома меди в них является вытянутый кислородный октаэдр. Можно предположить, что в образовании мономерных

фрагментов принимают участие карбоксильные кислороды.

Наличие двух типов триплетных спектров показывает, что возникновение мономерных центров приводит к тому, что примерно у половины двуядерных молекул наблюдаются заметно большие расщепления подуровней энергии, чем у остальных молекул (и других карбоксилатов меди (1)). Нарушение карбоксильных мостиков, связывавших два атома меди, обычно сопровождается уменьшением параметров J и D (9 , 10). Поэтому можно допустить, что в рассматриваемом случае центры второго типа возникают в результате искажения структуры примерно половины демерных молекул, которое проявляется в увеличении параметров D и E. Известно (1), что имеется корреляция между параметром тонкого расщепления D и величиной синглет-триплетного расщепления Ј. Поэтому одной из причин увеличения D может быть усиление изотропных обменных взаимодействий в центрах второго типа, вызванное увеличением косвенного обмена вследствие понижения симметрии. Это предположение подтверждается анализом данных магнитной восприимчивости. Кривые $\chi(T)$ с учетом вклада в восприимчивость мономерных центров позволяют оценить обменные интегралы для двух типов центров: при $T = 300^{\circ} \text{ K } J_1 \sim 300 \text{ см}^{-1}, J_2 \sim 500 \text{ см}^{-1}$. Величина $I_1 \sim 300$ см⁻¹ для первого типа центров обычно наблюдается в карбоксилатах меди. Величина $J_2 \sim 500~{
m cm}^{-1}$ довольно велика, что позволяет отнести увеличение D за счет увеличения вклада J в D. Кроме того, причиной увеличения D и E может быть изменение вкладов анизотропных эффектов: диполь-дипольного и псевдодипольного взаимодействий.

Таким образом, наличие трех типов центров в кристаллической решетке рассмотренных 3,5-динитробензоатов меди является опытным фактом. Присутствие в аддуктах I—IV сигналов 8, а в аддукте I ряда добавочных сигналов (в соединениях II—IV они выражены гораздо слабее) указывает на возможность возникновения между частью центров более слабых обменных взаимодействий, чем в димерных фрагментах. Скорее всего, это происходит в результате нарушения структуры, содержащей три описанных типа центров. Возможность существования таких дефектов не удивительна, если учесть сложный характер исходной трехцентровой структуры. Тем не менее выполненное исследование показывает, что обнаружен и проанализирован новый вид карбоксилатных комплексов, кристаллическая решетка которых включает несколько разновидностей магнитных фрагментов.

Казанский физико-технический институт Академии наук СССР Поступило 29 I 1973

Институт химии Академни наук МССР

ЦИТИРОВАННАЯ ЛИТЕРАТУРА

¹ Ю. В. Яблоков, В. В. Гаврилов и др., Сборн. Парамагнитный резонанс 1944—1969, «Наука», 1971, стр. 155. ² Г. А. Попович, А. В. Аблов и др., ДАН, 186, 613 (1969). ³ Г. А. Попович, А. В. Аблов и др., ЖНХ, 16, 591 (1971). ⁴ В. Вleaney, К. D. Bowers, Proc. Roy. Soc., A214, 451 (1952). ⁵ J. N. van Niekerk, E. R. L. Schoening, Acta crystallogr., 6, 227 (1953). ⁶ Ю. В. Яблоков, ЖСХ, 5, 222 (1964). ⁷ Ю. В. Яблоков, В. В. Зеленцов, Л. Н. Романенко, Теоретич. и эксп. хим., 4, 407 (1968). ⁸ Ю. В. Яблоков, А. В. Аблов, ДАН, 144, 173 (1962). ⁹ Ю. В. Яблоков, В. В. Гаврилов и др., ЖСХ, 12, 237 (1971). ¹⁰ D. В. W. Yawney, R. J. Doedens, J. Am. Chem. Soc., 92, 6350 (1970).